



**ENVIRONMENTAL SCIENCE** 

ISSN 0250-3301 CODEN HCKHDV HUANJING KEXUE

• 中风

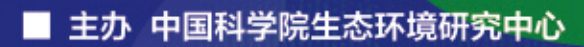
PM2.5污染对我国健康负担和经济损失的影响 李勇,廖琴,赵秀阁,白云,陶燕

PM2.5

PM<sub>2.5</sub>控制目标 健康经济效益

• 冠心病

呼吸系统疾病



■出版科学出版社





2021年4月

第42卷 第 4 期 Vol.42 No.4

## ENVIRONMENTAL SCIENCE

第42卷 第4期 2021年4月15日

### 目 次

京津冀及周边地区秋冬季大气污染物排放变化因素解析 ····································
珠江三角洲大气光化学氧化剂 $(O_{_{x}})$ 与 $PM_{_{2.5}}$ 复合超标污染特征及气象影响因素 ····································
广州市臭氧污染溯源:基于拉格朗日光化学轨迹模型的案例分析
·····································
运城秋冬季大气细粒子化学组成特征及来源解析 … 赵清,李杏茹,王国选,张兰,杨阳,刘水桥,孙宁宁,黄禹,雷文凯,刘新罡(1626)
降雪后 24 h 内大气中多环芳烃的变化规律 ····································
降雪后 $24 \text{ h}$ 内大气中多环芳烃的变化规律
- 每.告行业接发性有机物排放成分:严及影响
燃煤电厂和垃圾焚烧电厂燃烧产物中卤代多环芳烃的赋存特征和毒性风险
兰州市春季微生物气溶胶浓度、粒径及细菌群落结构分布特性
大气污染排放格局优化方法及案例
PM 污染对我国健康伤相和经济损失的影响
基于多同位素的不同土地利用区域水体硝酸盐源解析
新疆叶尔羌河流域地表水水化学特征及控制因素 张杰,周金龙,曾妍妍,涂治,纪媛媛,孙英,雷米(1706)
漓江流域水体中重金属污染特征及健康风险评价 黄宏伟,肖河,王敦球,席北斗,孙晓杰,李洁月,李向奎(1714)
近20年来鄱阳湖流域泛滥平原沉积物微量元素含量与污染变化 李括,杨柯,彭敏,刘飞,杨峥,赵传冬,成杭新(1724)
为河流域浅层地下水水化学和氢氧稳定同位素特征及其指示意义
何何孤鸣伐広地下小水化子和图莱德定间位系付征及共有小意义 ————————————————————————————————————
会仙岩溶湿地地下水主要离子特征及成因分析 ************************************
贵州威宁草海流域地下水水化学特征及无机碳通量估算 曹星星,吴攀,杨诗笛,刘闪,廖家豪(1761)
辽宁典型海域表层海水中在用化学农药浓度水平与潜在生态风险 杜静, 胡超魁, 解怀君, 田甲申, 李爱, 谢晴, 吴金浩, 宋伦(1772)
辽河流域土壤中微(中)塑料的丰度、特征及潜在来源 … 韩丽花,徐笠,李巧玲,陆安祥,殷敬伟,田佳宇(1781)
津冀辽地区典型湖库沉积物 PAHs 污染特征及来源解析 吴鹏,鲁逸人,李慧,郑天娇子,程云轩,焦立新(1791)
环太湖河流及湖体中有机磷酸酯的污染特征和风险评估 张文萍,张振飞,郭昌胜,吕佳佩,邓洋慧,张恒,徐建(1801)
太湖表层水体典型抗生素时空分布和生态风险评价
淮河流域南四湖可挥发性有机物污染特征及风险评价 程云轩,高秋生,李捷,李慧,吴鹏,焦立新(1820)
三亚河沉积物 PAHs 和 PCBs 的分布、来源及风险评价 ····································
三峡库区非点源污染氮磷负荷时空变化及其来源解析 李明龙,贾梦丹,孙天成,褚琳,李朝霞(1839)
反硝化细菌、硝酸钙和锆改性沸石联用对底泥中氮磷迁移转化的影响及硝态氮释放风险评估 辛慧敏,林建伟,詹艳慧(1847)
锁磷剂联合好氧反硝化菌修复富营养化水体 李炳堂,周志勤,Ravi Naidu,胡智泉,郭大滨,陈嘉鑫(1861)太湖蓝藻胞内有机质的微生物降解 张巧颖,孙伟,杜瑛珣,巩小丽(1870)
太湖蓝藻胞内有机质的微生物降解
青藏高原拉萨河流域附石藻类群落结构特征及其驱动因子分析 … 魏俊伟,李鸿然,汪兴中,齐文华,汪洋,赵彬洁,谭香,张全发(1879)
基于 EEMs 与 UV-vis 分析苏州汛期景观河道中 DOM 光谱特性与来源 ·····
老化前后轮胎磨损微粒与聚氯乙烯微粒对抗生素的吸附-解吸行为 范秀磊, 邹晔锋, 刘加强, 李莹, 刘强, 侯俊(1901)
磁性铁基改性生物炭去除水中氨氮  王芳君,桑倩倩,邓颖,赵元添,杨娅,陈永志,马娟(1913)
城市污水处理厂进水氨氧化菌对活性污泥系统的季节性影响 于莉芳,汪宇,滑思思,李韧,张兴秀,惠晓飞(1923)
基于粒径分化的厌氧氨氧化污泥性能与微生物多样性分析 王哓曈,杨宏(1930)
城市污水处理厂进水氨氧化菌对活性污泥系统的季节性影响 于莉芳, 汪宇, 滑思思, 李韧, 张兴秀, 惠晓飞 (1923) 基于粒径分化的厌氧氨氧化污泥性能与微生物多样性分析 王晓曈, 杨宏 (1930) ClO <sub>2</sub> 消毒工艺对污水处理厂出水超级耐药基因的影响
微塑料 PES 与 2 ,4-DCP 复合污染对厌氧污泥胞外聚合物与微生物群落的影响
城镇污水处理厂污泥泥质监测及资源化风险评价 李娟,李金香,杨妍妍(1956)
气候变暖对冻结期黑土碳氮循环关键过程及指标的影响  王子龙,刘传兴,姜秋香,李世强,柴迅(1967)
沼液秸秆联用对滨海围垦田土壤重金属迁移及形态变化的影响 王伟,周珺楠,汤逸帆,申建华,韩建刚(1979)
地块尺度城市土地质量地球化学调查方法:以雄安新区起步区为例
雄安新区农田土壤-农作物系统重金属潜在生态风险评估及其源解析 周亚龙,杨志斌,王乔林,王成文,刘飞,宋云涛,郭志娟(2003)
地质高背景农田土壤下不同水稻品种对 Cd 的累积特征及影响因素 代子雯, 方成, 孙斌, 魏志敏, 胡锋, 李辉信, 徐莉 (2016)
不同外源硒对镉污染土壤中小白菜生长及镉吸收的影响
影响不同农作物镉富集系数的土壤因素
CA 助拍下不同外循植物激表对水稻幼苗均氧化系统及 CA BB 此和思的影响
不同有机物料对水稻根表铁膜及砷镉吸收转运的影响
铜尾矿坝及其周边土壤真菌群落结构与功能多样性
不同有机物料对水稻根表铁膜及砷镉吸收转运的影响
·····································
动物粪便施肥措施促进耐药基因在粪便-土壤-蔬菜之间的散播 ····································
《环境科学》征订启事(1738) 《环境科学》征稿简则(1790) 信息(1860, 1878, 1900)



# 汾河流域浅层地下水水化学和氢氧稳定同位素特征及 其指示意义

刘鑫1,向伟1,司炳成1,2\*

(1. 西北农林科技大学旱区农业水土工程教育部重点实验室,杨凌 712100; 2. 萨斯喀彻温大学土壤学系,加拿大萨斯卡通市 S7N5A8)

摘要: 汾河流域是黄河的第二大支流,本文利用 Piper 三线图、Gibbs 模型、主成分分析法、相关矩阵和正向演替模型等方法,分析了汾河流域浅层地下水的水化学和氢氧稳定同位素分布特征及其控制因素,揭示了流域水循环及水质演化过程. 结果表明,汾河流域地下水属弱碱性和微硬水;优势阴阳离子分别为 HCO₃ 和 Ca²+;地下水水化学类型以 Mg-Ca-HCO₃和 Mg-Ca-Cl-SO₄为主,水质整体较好, I~Ⅲ类水占比超94%. 地下水 δD 和 δ¹O 平均值分别为 −70.2‰和 −9.6‰,与7~9 月降水同位素值相似,指示地下水可能主要来源于该时期的降水,并发现地下水补给方式(优势流和活塞流)存在一定的空间变化. 岩石风化是地下水溶质的主要来源(87%),而大气输入和人类活动相对较小,分别占8%和5%. 在岩石风化中,硅酸盐岩、蒸发盐岩和碳酸盐岩对地下水溶质的贡献相当,分别占32%、28%和26%. 本研究结果可为促进可持续开发利用汾河流域地下水资源提供依据.

关键词:水化学;氢氧稳定同位素;黄河流域;黄土高原;地下水;汾河中图分类号: X523 文献标识码: A 文章编号: 0250-3301(2021)04-1739-11 **DOI**: 10.13227/j. hjkx. 202008315

# Hydrochemical and Isotopic Characteristics in the Shallow Groundwater of the Fenhe River Basin and Indicative Significance

LIU Xin<sup>1</sup>, XIANG Wei<sup>1</sup>, SI Bing-cheng<sup>1,2\*</sup>

(1. Key Laboratory of Agricultural Soil and Water Engineering in Arid and Semiarid Areas, Ministry of Education, Northwest A&F University, Yangling 712100, China; 2. Department of Soil Science, University of Saskatoon, SK S7N 5A8, Canada)

Abstract: The Fenhe River basin is the second largest tributary of the Yellow River. Piper diagrams, Gibbs, PCA, correlation analysis and forward derivation modeling were used to analyze the distribution characteristics and the controlling factors of the groundwater chemistry and stable isotopes in the Fenhe River basin, which revealed the water cycle and water quality evolution process. The results indicated that the groundwater is a weakly alkaline, micro-hard water, the dominant anions and cations are HCO<sub>3</sub><sup>-</sup> and Ca<sup>2+</sup>, the major groundwater types are Mg-Ca-HCO<sub>3</sub> and Mg-Ca-Cl-SO<sub>4</sub>, the groundwater quality is good, and more than 94% of the samples belong to classes I - III. The average values of δD and δ<sup>18</sup>O of the Fenhe River groundwater are -70.2‰ and -9.6‰, which are similar to the isotope values of the precipitation from July to September, indicating that the groundwater may have originated from this period and that the groundwater recharge mode (dominant flow and piston flow) has a spatial variation. Rock weathering is the dominant source of ions in the groundwater, with an average contribution of 87%, while the contributions of atmospheric input and human activity are 8% and 5%, respectively. For rock weathering, silicate, evaporate, and carbonate rock contribute equally to the groundwater solutes, accounting for 32%, 28%, and 26%, respectively. The results of this study provide the basis for promoting the sustainable development and utilization of groundwater resources in the Fenhe River basin.

Key words: hydrochemistry; stable isotopes; Yellow River; Chinese Loess Plateau; groundwater; Fenhe River

汾河是黄河流域的第二大支流,位于我国北方生态环境极为脆弱的黄土高原,同时又是山西省乃至我国重要的化工能源基地<sup>[1]</sup>. 受降水稀少、蒸散发大、水土流失严重和人类活动强烈等因素的影响,黄土高原已成为我国水资源供需矛盾极为突出的地区之一<sup>[2]</sup>. 地下水是黄土高原生活、工农业生产和生态系统需水的重要水资源<sup>[3,4]</sup>,然而近年来在部分地区呈现出地下水位下降<sup>[5]</sup>、地表径流减少<sup>[2]</sup>和水质退化<sup>[6]</sup>等一系列水环境问题,在一定程度上加剧了区域水资源危机. 在此背景下,黄土高原地下水补给方式及水质演化备受关注,已成该区域水资源

可持续利用与开发管理的研究重点和热点[7,8].

地下水补给是一个十分复杂的生态水文过程,受大气、土壤、植被及人类活动等多因素的影响<sup>[9]</sup>. 利用氢氧稳定同位素( $\delta$ D 和  $\delta$ <sup>18</sup>O)结合水化学技术是地下水补给及水质演化的一种有效示踪方法<sup>[10]</sup>. 氢氧稳定同位素可以揭示不同水体的补给来源及相互转化关系<sup>[11,12]</sup>. 例如, Xiang 等<sup>[11]</sup>利用稳定同位

收稿日期: 2020-08-31; 修订日期: 2020-10-08

基金项目: 国家自然科学基金项目(41877017,41630860); 西北农 林科技大学基本科研业务费(2452017317)

**作者简介**: 刘鑫 (1995~),男,硕士研究生,主要研究方向为生态水文,E-mail: Liuxin213@ nwafu. edu. cn

<sup>\*</sup> 通信作者,E-mail:bing.si@usask.ca

素揭示了活塞流是黄土高原长武地区的主要补给机制. Li 等[12]通过分析地下水与地表水的氢氧同位素特征发现,黄土高原地区地下水主要接受 7~9 月雨季降水补给. 水化学特征记录了流域气候<sup>[6]</sup>、土壤及岩性<sup>[13]</sup>、植被覆盖<sup>[14]</sup>和人类活动<sup>[15]</sup>等因素对水循环过程的影响,其结果可以对氢氧稳定同位素示踪进行补充;同时通过溶质质量守恒原理可以定量分析大气输入、人类活动及岩石风化对水文过程的影响<sup>[16,17]</sup>. 例如, Li 等<sup>[16]</sup>利用水化学及同位素特征探究银川地区地下水水化学演化过程及控制因素. Zhao 等<sup>[17]</sup>利用水化学及同位素特征研究杭州湾新区地下水时空演化特征,并对其形成机制与更新能力进行评价. 因此,结合氢氧稳定同位素和水化学特征对于理解水文地球过程和保护生态环境具有重要指示意义.

在黄土高原,诸多研究分析了6个典型流域 (渭河、泾河、洛河、延河、窟野河和无定河)的地下 水水化学特征<sup>[15,18,19]</sup>,少数研究利用氢氧稳定同位 素技术揭示了黄土塬区<sup>[20]</sup>、黄土丘陵区<sup>[21]</sup>和5条 典型河流(渭河、泾河、洛河、延河和无定河)地下水 补给来源与方式,但缺乏对汾河流域地下水同位素 和化学风化地球化学循环过程系统的研究.为更全 面和充分地认识黄土高原地下水补给方式和水质演 化过程,本研究通过对汾河流域浅层地下水的水化 学和氢氧稳定同位素进行测定,分析地下水水化学 和氢氧稳定同位素进行测定,分析地下水水化学 和氢氧稳定同位素的分布特征及控制因素,揭示汾 河流域地下水补给方式和水质演化及影响因素,以 期为促进可持续开发利用汾河流域地下水资源提供 依据,并服务于黄土高原乃至黄河流域水资源可持 续管理.

#### 1 材料与方法

#### 1.1 研究区域概况

汾河流域位于东经 110°30′~113°32′,北纬35°20′~39°00′(图1),是山西省最大的河流,也是黄河第二大支流,沿岸每年从汾河取各类水资源24.3亿 m³,占全省水资源利用总量的 46% [22].流域东西宽 188 km,南北长 412.5 km,干流全长 694 km,流域面积3.94×10⁴ km²,占全省面积的25.5%,黄河流域的6.2% [23.24].汾河流域位于山西省中部,主要由东部的太行山区,中部的太原盆地和西部的吕梁山区构成,总体地势呈北高南低,四周高中间低[23],地层总体向东南方向倾斜,其中古生界碳酸盐岩构成泉域岩溶地下水含水层[25].本研究以太原北郊区上兰村和洪洞县石滩为界限,将汾河流域分为上中下游三段 [23].此外,汾河流域属温带大陆性

季风气候,为半干旱、半湿润气候过渡区,气候变化明显. 全流域多年(1956~2000年)平均降水量为504.8 mm,水面蒸发量介于1000~1200 mm<sup>[24,26]</sup>.

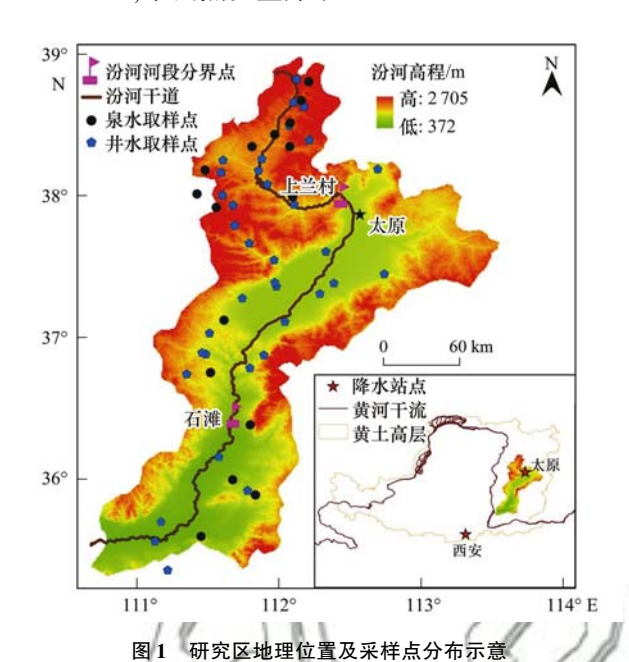


Fig. 1 Geographical location of the study area and the distribution of the sampling sites

#### 1.2 样品采集与测定

2019年9月25~29日,在汾河流域共收集到55个浅层地下水水样(浅层指埋藏较浅,未经深层岩石过滤,直接受大气降水和地表水补给的潜水),主要为泉水(16个)和埋深较浅的(井深大多在30m以内)居民饮用水井水(39个),具体采样点分布状况如图1所示.在地下水取样点选择时,首先进行详细地调查以确保地下水水样为浅层地下水,同时排除有其他水源污染的情况(例如,灌溉和生活污水等).泉水样点的采样直接于泉眼出露位置进行,井水样点首先利用电动水泵抽水10min以上,排出前期滞留在水井中的水以确保所取井水样为新鲜的地下水.在每个地下水取样点取样前,将性质稳定、耐酸碱腐蚀的250mL聚乙烯样品瓶充分涮洗2~3次,取样后立即密封瓶口,避免水样泄漏或被污染,并尽快将样品带回室内4℃冷藏.

地下水 pH、氧化还原电位(ORP)和总固体溶解量(TDS)测定分别使用梅特勒-托莱德 pH 和 TDS计;地下水  $SO_4^{2-}$ 、 $NO_3^{-}$ 、 $Cl^{-}$ 测定采用离子色谱仪(USA, ThermoFisher Scientific, ICS-1100),精度为20  $\mu g \cdot L^{-1}$ ;地下水  $HCO_3^{-}$ 、 $CO_3^{2-}$  采用酸碱平衡法测定;地下水  $K^+$ 、 $Ca^{2+}$ 、 $Na^+$ 和  $Mg^{2+}$ 的测定采用电感耦合等离子体发射光谱仪(USA, ThermoFisher Scientific, ICAP6300),精度为20  $\mu g \cdot L^{-1}$ ;地下水  $\delta D$  和  $\delta^{18}O$  采用液态水同位素分析仪(IWA-45EP,

LGR, USA)测定,测量精度分别为 1‰和 0.2‰,测量结果以维也纳标准平均海水(VSMOW)为标准的千分差[ $\delta$ (‰)]表示. 以上所有实验分析均在西北农林科技大学中国旱区节水农业研究院进行.

#### 1.3 数据分析

#### 1.3.1 地下水补给来源

地下水 lc-excess 值可以反映其在补给过程中 经历的蒸发及非平衡分馏程度<sup>[27,28]</sup>,通过以下公式 计算:

$$lc\text{-excess} = \delta D - a\delta^{18}O - b \tag{1}$$

式中,a 和 b 分别为当地大气降水线(LMWL)的斜率和截距. lc-excess 表示由蒸发导致的地下水同位素偏离 LMWL 的程度,一般认为降水的 lc-excess 为 0,其值越小说明地下水受到的蒸发程度就越强烈<sup>[29]</sup>.

#### 1.3.2 地下水离子来源

首先利用 Piper 图分析地下水的水化学类型<sup>[30]</sup>,利用相关性分析揭示地下水中各离子间的相关关系<sup>[31]</sup>,利用主成分分析法筛选出影响地下水水化学组成的主要变量<sup>[32]</sup>. 其次,利用 Gibbs 模型定性判断地下水水化学组成的来源,包括蒸发结晶、岩石风化和大气输入<sup>[33]</sup>,并利用指标 1 (指标 1 = Ca<sup>2+</sup> + Mg<sup>2+</sup> - HCO<sub>3</sub><sup>-</sup> - SO<sub>4</sub><sup>-</sup> )与指标 2 (指标 2 = Na<sup>+</sup> - Cl<sup>-</sup> )的相关比值判断是否发生阳离子交替吸附作用<sup>[34]</sup>. 最后,利用正向演替模型进一步量化大气输入、人类活动和岩石风化(碳酸盐岩、硅酸盐岩和蒸发盐岩)对地下水水化学组成的相对贡献<sup>[35]</sup>,主要等式如下:

大气输入 = 
$$\frac{Na_{\text{大气输入}}^{+} + K_{\text{大气输入}}^{+} + Ca_{\text{大气输入}}^{2+} + Mg_{\text{大气输入}}^{2+}}{\sum 阳离子_{\text{地下水}}}$$
(2)

碳酸盐岩 = 
$$\frac{2(Ca_{\text{碳酸盐岩}}^{2+} + Mg_{\text{碳酸盐岩}}^{2+})}{\sum 阳离子_{\text{地下水}}}$$
(3)

硅酸盐岩 = 
$$\frac{Na_{\text{dt酸}}^{+} + K_{\text{dtt}}^{+} + Ca_{\text{dttt}}^{2+} + Mg_{\text{dtttt}}^{2+}}{\sum \ \text{阳离子}_{\text{ur},k}}$$

(4) V类水(WOI

式中,人类活动和岩石风化中各离子组成利用元素  $X(K^+, Ca^{2+}, Na^+, Mg^{2+}, SO_4^{2-}, NO_3^-$  和  $Cl^-)$  的 质量守恒进行计算:

$$X_{\text{地下水}} = V_{\text{大} = \text{$\mathbb{A}$}} + X_{\text{\text{L}}} + X_{\text{\text{K}}} + X_{\text{K}} + X_{\tex$$

本研究中大气输入的离子组成采用汾河流域附近龙门和头道拐两个站点的数据<sup>[36]</sup>.由于地下水氯浓度的最低值(0.124 mmol·L<sup>-1</sup>)明显高于经蒸发修正后<sup>[37]</sup>的大气输入的氯浓度(0.060 mmol·L<sup>-1</sup>),采用公式(8)对地下水中各离子浓度进行修正:

$$X_{\text{地下} k}^* = X_{\text{地下} k} - X_{\text{大气输入}}$$
 (8) 式中, $X_{\text{大气输} k}$ 、 $X_{\text{地下} k}$ 和  $X_{\text{地下} k}^*$  分别表示大气输入、修

式中, $X_{\pm \gamma_k}$ 、 $X_{\pm r_k}$ 和  $X_{\pm r_k}^*$ 分别表示大气输入、修正前和修正后的地下水离子浓度, $mmol \cdot L^{-1}$ .

#### 1.3.3 地下水水质评价

本研究根据《地下水质量标准》GB/T 14848-2017,按照饮用水标准,采用以离子类型和化学参数为基础的 WQI 法对流域地下水水质进行评价:

$$W_i = w_i / \sum w_i \tag{9}$$

WQI = 
$$\sum \left[ W_i \times \left( \frac{c_i}{S_i} \right) \times 100 \right]$$
 (10)

式中, $w_i$  表示元素的权重,其依据污染物对人体健康影响程度取值介于  $1 \sim 5^{[38]}$ ;  $\sum w_i$  表示元素的权重之和;  $W_i$  表示元素权重的相对比例;  $c_i$  表示测定的元素浓度 [39];  $S_i$  表示世界卫生组织 WHO 的离子浓度标准 [39,40]. 根据 WQI 值将水质分为 5 类 [6,40]: I 类水(WQI < 50)、II 类水(50  $\leq$  WQI < 100)、II 类水(100  $\leq$  WQI < 200)、IV 类水(200  $\leq$  WQI < 300)和 V类水(WQI  $\geq$  300).

表 1 WQI 法中不同离子的  $w_i$ 、 $W_i$ 和  $S_i$ 参数

Table 1 Parameter value of  $w_i$ ,  $W_i$ , and  $S_i$  for different ions in the WQI method

参数	Cl -	SO <sub>4</sub> -	NO <sub>3</sub>	HCO <sub>3</sub>	Ca <sup>2 +</sup>	K + + Na +	$Mg^{2+}$	рН	TDS	EC
$w_i$	4	3	5	3	3	2	3	3	5	4
$\boldsymbol{W}_i$	0. 114 3	0.0857	0. 142 9	0.0857	0.0857	0.0571	0.0857	0.0857	0. 142 9	0. 114 3
$S_i$	250	250	20	500	200	200	150	8.5	1 000	1 500

#### 2 结果与讨论

#### 2.1 地下水基本理化性质

汾河流域地下水 pH 和硬度 TH 值(钙镁毫克当

量总数乘以 50) 均未呈现明显的地带性空间分布规律[图 2(a) 和图 2(c)]. 流域地下水整体上呈弱碱性,pH 介于 7.16~8.24,平均值为 7.63; 硬度 TH介于 85.7~1754.3 mg·L<sup>-1</sup>,平均值为 320.8

 $mg \cdot L^{-1}$ (表 2); TDS 介于 265 ~ 1800  $mg \cdot L^{-1}$ , 平均值为 680  $mg \cdot L^{-1}$ , 中下游的地下水 TDS 最低明显大于上游[图 2(b)]. 根据水硬度类型划分, 汾河流域地下水主要以微硬水为主(TH > 150  $mg \cdot L^{-1}$ ), 占比81.8%. 利用 WQI 法对地下水水质进行评价, 结果显示流域内  $I \sim V$ 类水质分别占

比 25%、53%、16%、4%和 2%, I~Ⅲ类水质占比超 94%,表明汾河流域地下水水质整体上状况良好,同时不难发现,汾河流域上游的地下水水质好于中游和下游 [图 2 (d)],原因是中下游属于人口聚居的盆地地区,其地下水较上游更易受到人类活动的影响<sup>[41]</sup>.

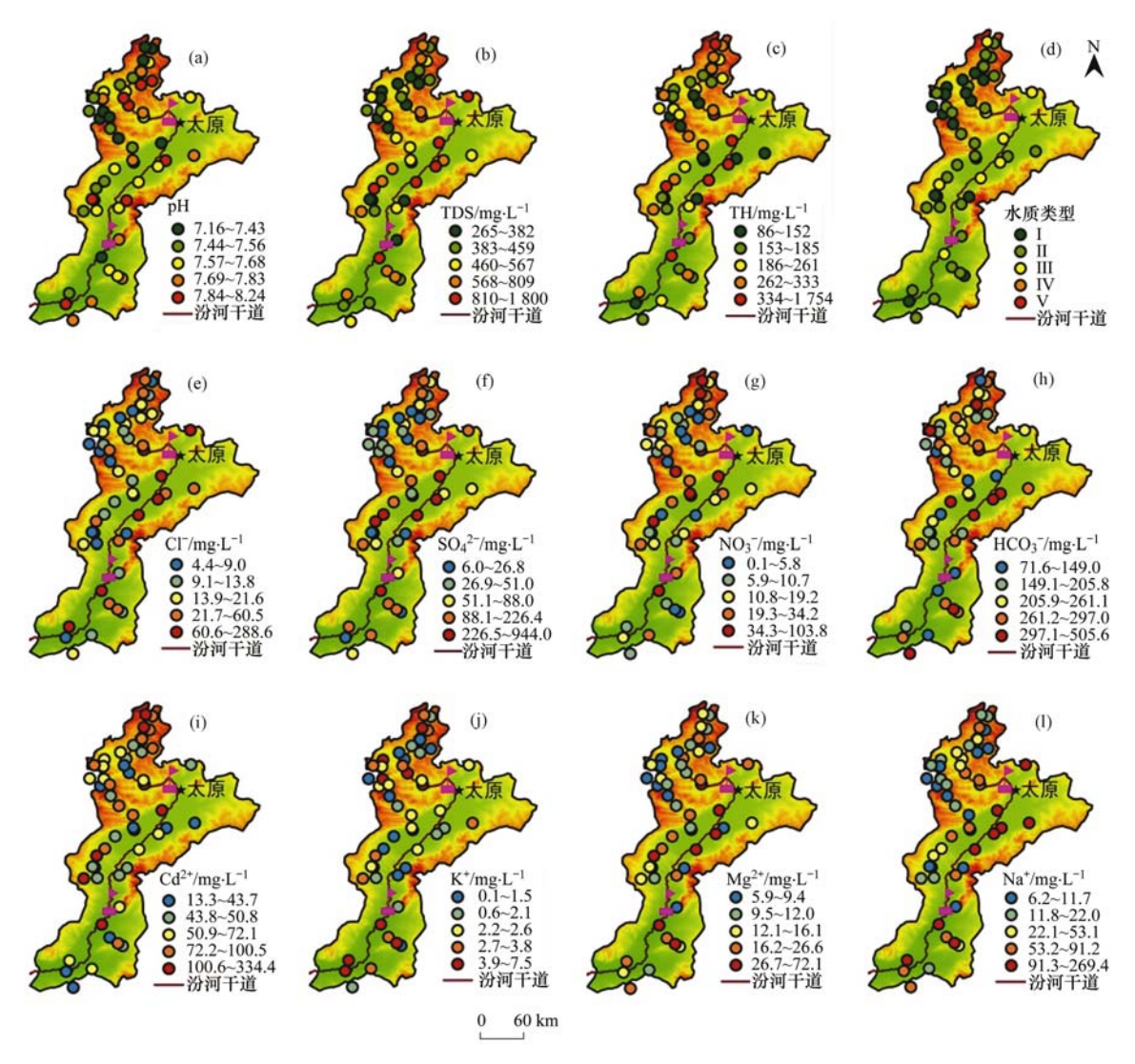


图 2 汾河流域浅层地下水化学参数及主要离子的空间分布

Fig. 2 Spatial variations of the chemical parameters and major ions of the shallow groundwater in the Fenhe River Basin

表 2 汾河流域浅层地下水基本理化性质、稳定同位素和水化学组成统计特征

Table 2 Analytical results of the groundwater parameters, isotope, and chemistry in the Fenhe River basin

项目	Ц	TDS	TH	Cl -	SO <sub>4</sub> -	NO <sub>3</sub>	HCO <sub>3</sub>	Ca <sup>2 +</sup>	K +	Mg <sup>2 +</sup>	Na +	$\delta \mathrm{D}$	$\delta^{18}$ O	lc-excess
火日	рН	/mg·L-	1 /mg·L-1	/mg·L-	<sup>1</sup> /mg•L <sup>-1</sup>	/mg·L-	1/mg•L-1	/mg·L-1	$/mg \boldsymbol{\cdot} L^{-1}$	$/\text{mg} \cdot L^{-1}$	1/mg·L <sup>-1</sup>	/%0	/%0	/%0
最小值	7. 16	265	85. 7	4. 4	6	0. 1	71.6	13. 3	0.1	5. 9	6. 2	-85.4	-11.4	-8.8
最大值	8. 24	1 800	1 754. 3	288. 6	944	103.8	505.6	334. 4	7. 5	72. 1	269. 4	-62.7	-8.3	2. 3
平均值	7.63	680	320.8	37.8	161.3	23.7	233.6	82. 7	2.7	21	60.6	-70.2	-9.6	-5.1
标准偏差	0. 23	424. 5	5 306. 2	51.4	230. 1	26. 5	95. 2	69.8	1.6	17.5	65.7	4. 6	0.8	2.4

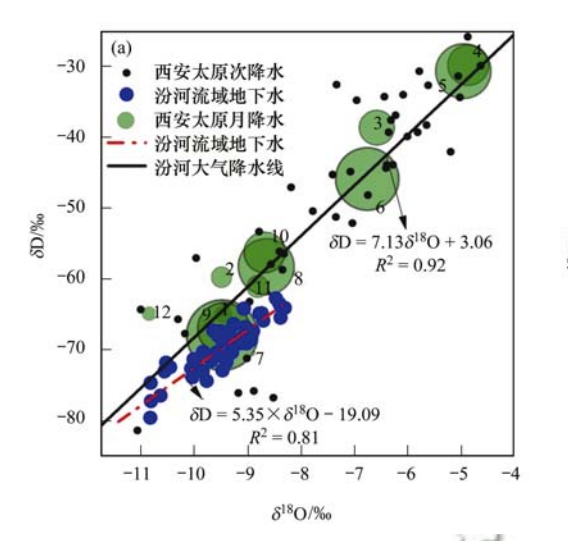
#### 2.2 地下水氢氧稳定同位素特征

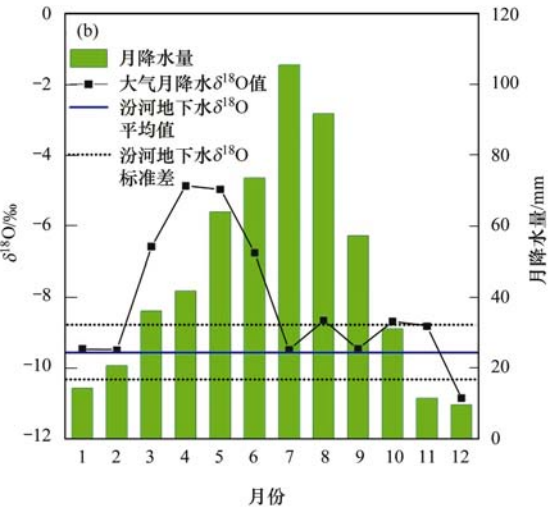
黄土高原降水量及氢氧稳定同位素组成呈现明显的季节性变化<sup>[42]</sup>,为利用同位素技术分析地下水补给来源提供了基础.为分析汾河流域地下水的补

给来源,本研究从国际原子能机构获得位于汾河流域及邻近地区两个观测站长期的月尺度大气降水同位素数据(西安,N=48;太原,N=20).结果表明,汾河流域月降水氢氧稳定同位素值变化较大, $\delta$ D 和

 $\delta^{18}$ O 变化范围分别为 - 88. 8‰  $\sim$  - 23. 3‰ 和 - 13. 2‰  $\sim$  - 1. 2‰, 算术平均值分别为 - 54. 3‰和 - 7. 7‰, 雨量加权平均值分别为 - 52. 8‰ 和 - 7. 8‰. 进一步按月份进行雨量加权平均,  $\delta$ D 和

 $\delta^{18}$ O 变 化 范 围 分 别 为 -67.9% ~ -29.8% 和 -10.8% ~ -4.9%; 整体上看, 月加权平均同位素 值呈现明显的季节变化(图 3), 7 月 ~ 次年 2 月同 位素值相对贫化, 而 3 ~ 6 月同位素值相对富集.





(a) 汾河流域浅层地下水 8D 和 8<sup>18</sup>O 值关系(数字代表月份,圆圈半径大小代表月降雨量相对大小);(b) 汾河流域降水量和同位素的空间变化

图 3 汾河流域大气降水和浅层地下水氢氧稳定同位素关系

Fig. 3 Stable isotopes relationship between the atmosphire precipitation and shallow groundwater in the Fenhe River basin

汾河流域地下水氢氧稳定同位素值的变化范围明显小于降水(图3). 从图3可以看出,汾河流域地下水氢氧稳定同位素值与3~6月大气降水同位素值差异较大,而主要与7月~次年2月的大气降水同位素值相似. 由于在7月~次年2月时期内降水主要发生在7~9月,占78%,据此可以推断汾河流域浅层地下水主要来源于7~9月的降水,这与黄土高原的长武黄土塬区<sup>[43]</sup>、洛川黄土塬区<sup>[20]</sup>、陇东丘陵山区<sup>[44]</sup>、榆林子洲盆巴沟流域<sup>[45]</sup>和几条典型河流(渭河、泾河、洛河、延河和无定河)<sup>[12]</sup>的研究结果一致. 汾河流域受大陆性季风气候的影响,降水年内分布不均,约占全年50%以上的降水集中在7~9

月,且多为强降水或持续性降水,为降水补给地下水创造了有利气象条件<sup>[12,46]</sup>.由图 4(a)可知,汾河流域浅层地下水 δD 由上游到中游呈现出由富集到贫化的趋势特征,这与汾河流域浅层地下水的径流特征一致<sup>[23]</sup>.

根据西安和太原两个站点的大气降水氢氧稳定同位素数据,回归拟合得到汾河流域的大气降水线方程(LMWL):  $\delta$ D = 7.  $13\delta^{18}$ O + 3. 06,  $R^2$  = 0. 92[图 3 (a)]. 该方程的斜率小于中国大气降水线方程<sup>[47]</sup>和全球大气降水线方程<sup>[48]</sup>的斜率,是因为汾河流域地处我国西北内陆腹地,大气水汽在运移过程中发生了非平衡分馏作用. 汾河流域地下水同位素值仅

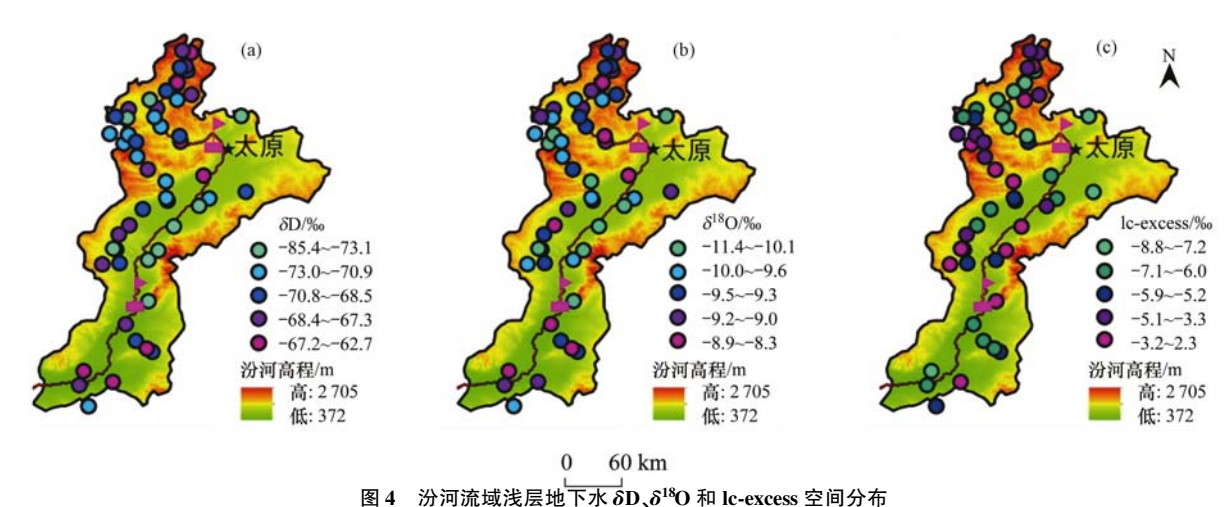


Fig. 4 Distributions of  $\delta D$ ,  $\delta^{18}O$ , and lc-excess values of the shallow groundwater in the Fenhe River basin

仅分布于 LMWL 右下方, 呈明显的线性变化( $\delta D$  =  $5.35\delta^{18}O - 19.09$ ,  $R^2 = 0.81$ ), 且大部分地下水 lcexcess 值明显小于降水(lc-excess = 0‰),表明地下 水在补给过程中经历了蒸发分馏作用. 降水向地下 水转化过程中地下水补给受大气、土壤、植被及人类 活动等多种因素的影响,补给路径或方式变得十分 复杂,但通常可以简化为两个过程[11]:活塞流,降水 通过土壤非饱和区缓慢地入渗补给地下水: 优势 流,降水通过土壤非饱和区(例如,大孔隙和裂隙) 或低洼地区等优势通道快速到达含水层补给地下 水. 从同位素角度出发,以活塞流方式补给地下水的 水分会因为经历土壤蒸发而具有明显的同位素分馏 特征,而优势流通常不具有同位素分馏特征[49].因 此,本研究中大部分地下水保留有明显的同位素分 馏特征,表明活塞流是汾河流域地下水补给方式之 一. 然而, 地下水 lc-excess 表示的蒸发分馏特征在 整个流域内存在较大变化,且在部分样点同位素蒸 发分馏特征不明显,意味着地下水以降水快速入渗 补给为主,这可能与局部地区的微地形及地貌条件 有关[49].

#### 2.3 地下水离子来源及控制因素

地下水阴离子浓度高低呈现: HCO<sub>3</sub> > SO<sub>4</sub> > Cl > NO<sub>3</sub> , 阴离子 HCO<sub>3</sub> 占地下水阴离子总量的51%; 阳离子浓度高低呈现: Ca<sup>2+</sup> > Na<sup>+</sup> > Mg<sup>2+</sup> > K<sup>+</sup>, 阳离子 Ca<sup>2+</sup> 占地下水阳离子总量的49%, 表明HCO<sub>3</sub> 和 Ca<sup>2+</sup> 为溶质离子的优势离子, 这与泾河<sup>[18]</sup> 及黄河干流<sup>[50]</sup> 的观测结果一致(表2). 由于地下水中 HCO<sub>3</sub> 主要来源于碳酸盐岩风化<sup>[51]</sup>, 而其在阴离子中占主导地位, 表明碳酸盐岩石风化是地下水溶质的重要来源之一. 根据 Piper 图显示, 汾河流域地下水水化学类型主要有 Mg-Ca-HCO<sub>3</sub> 和 Mg-Ca-Cl-SO<sub>4</sub> 两种, 分别占取样总数的51%和27%(图5), 地下水类型由上游山区的 Mg-Ca-HCO<sub>3</sub> 型逐渐向中下游盆地中心的Na-K-HCO<sub>3</sub> 型转变且伴随着TDS

逐渐增大,同时优势阳离子由 Mg<sup>2+</sup>和 Ca<sup>2+</sup>逐渐转变为 Na<sup>+</sup>,原因在于地下水由山区进入盆地后蒸发作用增强,径流变缓,引起盐分不断地积累,使得钙镁矿物沉淀析出等一系列水岩作用引起水中的 Na<sup>+</sup>富集.值得注意的是,地下水样点在 Piper 图中位置较为分散,表明地下水的水化学成分、含量变化较大,易受外界因素的影响.

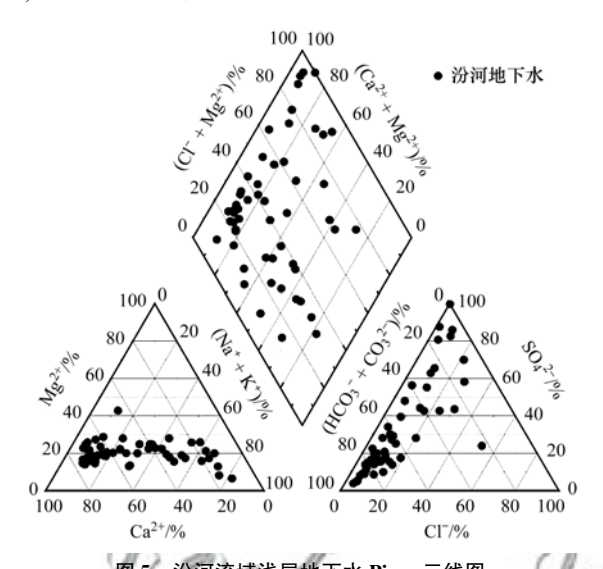


图 5 汾河流域浅层地下水 Piper 三线图 ig, 5 Ternary diagrams for ions of the shallow groundwater in the Fenhe River basin

对汾河流域地下水中水化学组成及参数做相关性分析以及主成分分析,结果见表 3 和表 4. pH 与  $SO_4^{2-}$  和  $Mg^{2+}$  均具有极显著的相关性(r>0.6,P<0.01); TDS 与  $CI^-$ 、 $SO_4^{2-}$ 、 $Ca^{2+}$  和  $Mg^{2+}$  均具有极显著的相关性(r>0.6,P<0.01); WQI 与  $NO_3^-$  和  $Ca^{2+}$  均具有极显著的相关性(r>0.6,P<0.01). 以上结果说明,影响 pH、TDS 和 WQI 的主要水化学离子不同. 此外,地下水各离子之间:  $CI^-$  与  $Na^+$  具有极显著的相关性(r>0.6,P<0.01),且主成分分析显示来源相同(21.45%),表明这两种离子可能的来源为蒸发盐岩风化[52],然而 $CI^-$ 与 $Na^+$ 的比值为

表 3 汾河流域地下水水化学参数间的线性相关矩阵1)

Table 3 Correlations matrix between the groundwater hydrochemical parameters in the Fenhe River basin

	Cl -	SO <sub>4</sub> <sup>2-</sup>	$NO_3^-$	HCO <sub>3</sub>	Ca <sup>2 +</sup>	K +	$\mathrm{Mg}^{2}$ +	Na +	pН	TDS	WQI
Cl -	1	0. 417 **	0. 255	0.053	0. 196	0. 197	0. 500 **	0. 768 **	-0.117	0. 690 **	0. 553 **
$SO_4^{2}$ -		1	0. 582 **	-0.285 *	0. 894 **	0.102	0. 933 **	0. 254	-0.384 **	0. 910 **	0. 345 **
$NO_3^-$			1	-0. 292 *	0. 696 **	0.044	0. 580 **	-0.059	-0.372 **	0. 597 **	0. 850 **
$HCO_3^-$				1	-0.351 **	0.152	-0.068	0. 471 **	0. 281 *	-0.032	-0.088
Ca <sup>2 +</sup>					1	0.052	0. 794 **	-0.117	-0.458 **	0. 746 **	0. 615 **
K +						1	0. 125	0. 192	-0.118	0. 152	0.070
${ m Mg}^{2}$ +							1	0. 377 **	-0.827 **	0. 950 **	0. 331 *
Na +								1	0.085	0. 541 **	0. 280 *
рН									1	-0.328*	0. 082
TDS										1	0. 828 **
WQI											1

表 4 主成分分析对主要离子的因子荷载1)

Table 4 Factor loading of the principal component

analysis for major ions									
项目	PC1	PC2	PC3						
Cl -	-0.08	0. 88	0. 29						
$SO_4^{2}$	0.89	0. 19	0.36						
$NO_3^-$	-0.03	0.00	0. 91						
Ca <sup>2 +</sup>	0.65	-0.02	0.71						
K <sup>+</sup>	0.33	0.36	-0.15						
$Mg^{2+}$	0.88	0. 25	0. 33						
Na +	0.06	0. 95	-0.07						
特征值	4. 99	2. 15	1.41						
方差百分比/%	49. 91	21. 45	14. 12						
累积方差/%	49. 91	71. 36	85. 48						

#### 1)黑体字表示高荷载

1:2.6,说明除了大气降水以及蒸发盐岩风化以外还有其他的来源.  $SO_4^{2-}$  与  $Ca^{2+}$  和  $Mg^{2+}$  两两之间具有极显著的相关性(r>0.6,P<0.01),且主成分分析显示具有相同的来源(49.91%),表明这 3 种离子可能的来源为硅酸盐和蒸发盐岩风化<sup>[20]</sup>.  $NO_3^{-}$  与  $Ca^+$ 具有极显著的相关性(r>0.6,P<0.01),且具有相同的来源(14.12%),表明除岩石风化外,地下水中离子浓度可能还受到人类活动的影响<sup>[53]</sup>.

由图 6 可知,大部分地下水样点位于岩石风化范围内,表明岩石风化是汾河流域地下水中水化学组成的主要来源. 然而,地下水 Na<sup>+</sup>/(Na<sup>+</sup> + Ca<sup>2+</sup>)比值变化较大(0.076~0.878),说明受到了其他因素的影响<sup>[54]</sup>. 此外,部分地下水样点落在三角区外,表明水化学组成可能受到了人类活动的影响. 地下水指标 1 (Ca<sup>2+</sup> + Mg<sup>2+</sup> - HCO<sub>3</sub><sup>-</sup> - SO<sub>4</sub><sup>-</sup>)与指标 2

 $(Na^+ - Cl^-)$  存在明显的负相关关系(指标 1 =  $-1.08 \times$  指标 2 + 0.39 ,  $R^2 = 0.96$ ). 其中, 斜率接近  $-1^{[55]}$  , 表明在地下水运移过程中发生了阳离子交替吸附作用, 岩石通过与地下水作用, 用  $Na^+$  置换地下水中的  $Ca^{2+}$  和  $Mg^{2+}$  , 导致  $Na^+$  富集.

进一步利用正向演替模型量化大气输入、人 类活动和岩石风化(碳酸盐岩、硅酸盐岩和蒸发盐 岩)对地下水水化学组成的相对贡献(图7和表 5). 结果表明, 大气输入、人类活动和岩石风化的 相对贡献平均值分别为8% ±4%、5% ±6%和 87% ±7%,说明岩石风化是汾河流域地下水溶质 的主要来源,与黄土高原其余6条主要河流,包括 渭河[15]、泾河[20]、洛河、无定河、延河和窟野河[19] 的研究结论一致. 此外, 汾河流域地下水硅酸盐 岩、蒸发盐岩和碳酸盐岩的贡献平均值分别为 32% ±28%、28% ±26%和26% ±29%,说明3种 盐岩风化对地下水溶质的贡献相当. 前人研究结 果显示,渭河、洛河和窟野河的盐岩风化主要以蒸 发盐岩为主[15,52],泾河的盐岩风化主要以碳酸盐 岩为主[20], 无定河和延河的盐岩风化与汾河流域 类似,3种盐岩风化对地下水溶质贡献相当[19].以 上结果说明,黄土高原主要几条河流地下水溶质 主要来源存在一定的空间差异. 已有研究表明,流 域气候[6]、土壤及岩性[13]、植被覆盖[14]和人类活 动[15]等因素会对地下水溶质来源造成影响. 例如, Xiao 等[6]利用微量元素表明干旱气候和人类活动 是造成在黄土高原地表水水质退化的重要原因.

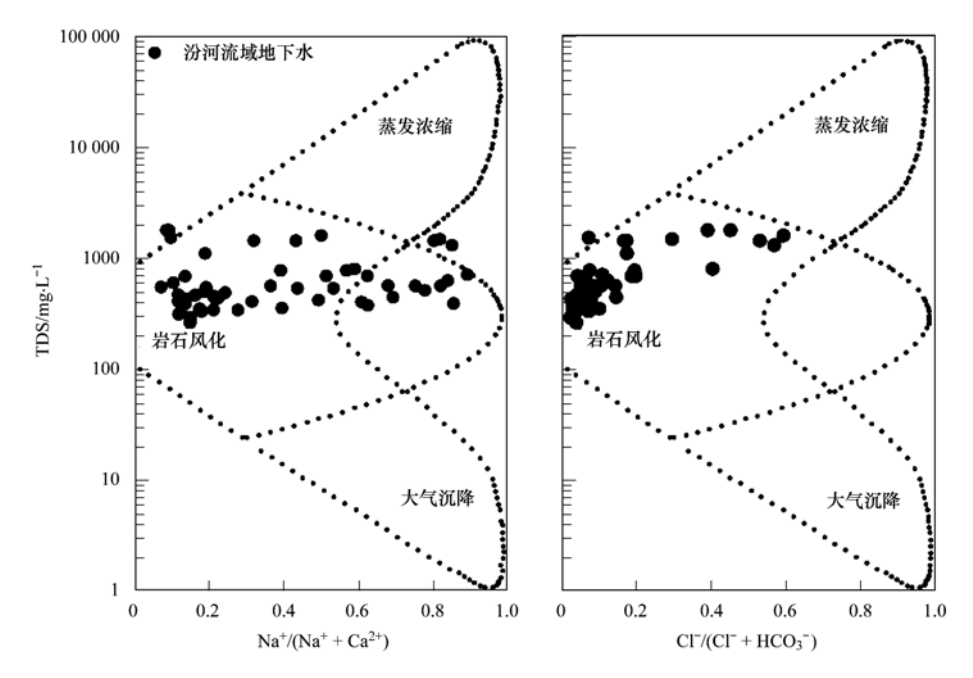


图 6 汾河流域浅层地下水 Gibbs 图

Fig. 6 Gibbs diagram of the shallow groundwater in the Fenhe River basin

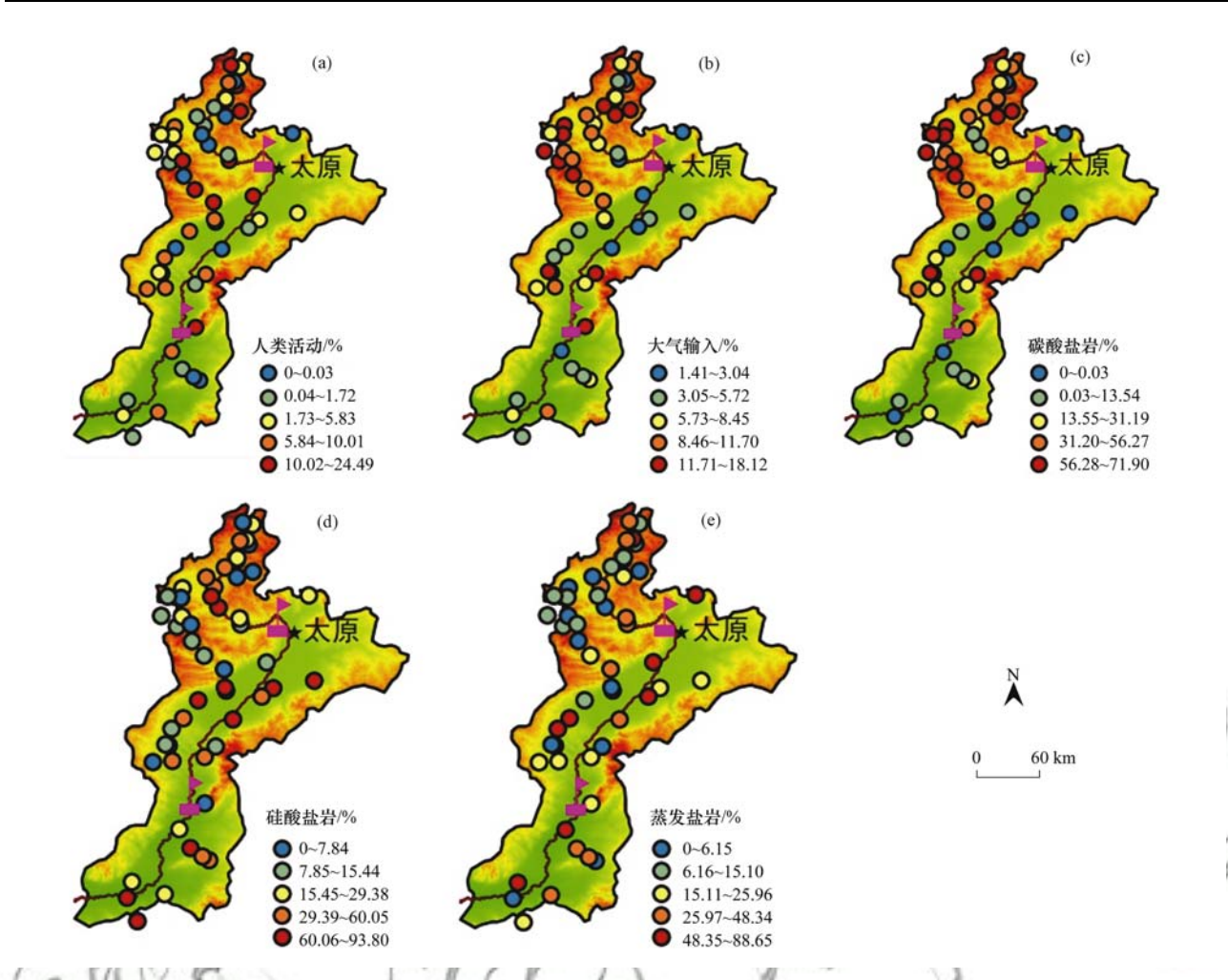


图 7 汾河流域浅层地下水溶质输入贡献值空间分布

Fig. 7 Spatial variations of the solute contributions of the shallow groundwater in the Fenhe River Basin

表 5 黄土高原几条主要河流浅层地下水水化学组成的来源比较

Table 5 Comparison of the shallow groundwater hydrochemistry in several major rivers in the Loess Plateau

流域	大气输入/%	人类活动/% -		文献			
		八矢伯列/% 一	总计	蒸发盐岩	硅酸盐岩	碳酸盐岩	<b>文</b> 附
汾河	8	5	87	28	32	26	本研究
渭河	3	7	90	49	13	27	[15]
泾河	6	6	88	25	22	42	[ 20 ]
洛河	6	5	88	49	10	30	[ 19 ]
无定河	8	6	86	33	21	32	[19]
延河	3	6	91	26	30	35	[19]
窟野河	8	8	84	48	15	20	[19]

因此,需要进一步分析造成上述差异的原因及控制 因子,以更全面和充分地认识黄土高原地下水水质 分布特征.

此外,尽管大气输入及人类活动对汾河流域地下水的溶质贡献较小,且地下水水质整体状况较好[图 2(d)],但大部分取样点的地下水  $NO_3^-$  浓度较高[图 2(g)],且远超 WHO 饮用水推荐值(20  $mg \cdot L^{-1}$ ).一般自然状态下  $NO_3^-$  的环境本底浓度较低,而造成  $NO_3^-$  浓度升高的原因可能有生活污水、粪便、农业化肥[15,56,57]和工矿活动[53].在黄土高原,

Li 等<sup>[15]</sup>利用硝酸根氮氧同位素表明,农业活动中化肥施用是造成渭河流域地表水汛期和枯水期水质退化的重要原因. Xing 等<sup>[56]</sup>利用硝酸根双同位素发现泾河流域地表水水质状况可能与城市、工业及农业空间分布格局有关. 汾河流域是山西省农业发达的主要地区,农业产值占全省的 64%,随着化肥的大量施用,农业面源污染很可能是引起地下水中硝酸盐含量超标的重要原因. 例如, Meng 等<sup>[57]</sup>研究了汾河流域下游地表水 NO<sub>3</sub> 状况,并证实了农业化肥是造成 NO<sub>3</sub> 浓度较高的主要原因. 本研究通过一次取样

初步分析了整个汾河流域地下水 NO<sub>3</sub> 的分布状况,但未分析造成污染的原因.因此,在未来工作中需要更全面地对该流域地下水 NO<sub>3</sub> 的污染状况进行监测、评估及污染来源分析,以期实现水资源的可持续管理.

#### 3 结论

- (1)汾河流域地下水属弱碱性和微硬水; 优势阴阳离子分别为 HCO<sub>3</sub><sup>-</sup> 和 Ca<sup>2+</sup>; 水化学类型以 Mg-Ca-HCO<sub>3</sub>和 Mg-Ca-Cl-SO<sub>4</sub> 为主; 地下水水质整体较好, I~Ⅲ类水占比超 94%.
- (2)汾河流域地下水 δD 和 δ<sup>18</sup>O 平均值分别为 -70.2‰和 -9.6‰,与7~9 月降水同位素值相似,指示地下水可能主要来源于该时期的降水,并发现地下水补给方式(优势流和活塞流)存在一定的空间变化.
- (3)岩石风化是地下水溶质的主要来源(87%),而大气输入和人类活动相对较小,分别占8%和5%.在岩石风化中,硅酸盐岩、蒸发盐岩和碳酸盐岩对地下水溶质的贡献相当,分别占32%、28%和26%.

#### 参考文献:

- [1] 谢浩,梁永平,申豪勇,等. 汾河流域地下水位下降原因及影响[J]. 中国矿业, 2020, **29**(S1): 587-589.

  Xie H, Liang Y P, Shen H Y, *et al.* The cuases and influence of groundwater level drop in Fenhe river basin[J]. China Mining Magazine, 2020, **29**(S1): 587-589.
- [2] Zhang X P, Zhang L, Zhao J, et al. Responses of streamflow to changes in climate and land use/cover in the Loess Plateau, China [J]. Water Resources Research, 2008, 44 (7): W00A07.
- [ 3 ] Gleeson T, Befus K M, Jasechko S, et al. Author correction; the global volume and distribution of modern groundwater [J]. Nature Geoscience, 2018, 11(7); 542.
- [4] Al-khashman O A, Jaradat A Q. Assessment of groundwater quality and its suitability for drinking and agricultural uses in arid environment[J]. Stochastic Environmental Research and Risk Assessment, 2014, 28(3): 743-753.
- [5] 吴奇凡. 黄土高原陆地水储量变化归因分析及区域尺度地下水补给[D]. 杨凌: 西北农林科技大学, 2019. Wu Q F. Attribution analysis of terrestrial water storage and estimating groundwater recharge at regional scale on the Loess Plateau[D]. Yangling; Northwest A&F University, 2019.
- [6] Xiao J, Wang L Q, Deng L, et al. Characteristics, sources, water quality and health risk assessment of trace elements in river water and well water in the Chinese Loess Plateau[J]. Science of the Total Environment, 2019, 650: 2004-2012.
- [7] Xiao J, Jin Z D, Zhang F. Geochemical controls on fluoride concentrations in natural waters from the middle Loess Plateau, China [J]. Journal of Geochemical Exploration, 2015, 159: 252-261.
- [8] Zhang Q Q, Jin Z D, Zhang F, et al. Seasonal variation in river water chemistry of the middle reaches of the Yellow River and its controlling factors [J]. Journal of Geochemical Exploration,

- 2015, **156**: 101-113.
- [9] Wu Q F, Si B C, He H L, et al. Determining regional-scale groundwater recharge with GRACE and GLDAS [J]. Remote Sensing, 2019, 11(2), doi: 10.3390/rs11020154.
- [10] Mohanty A K, Rao V V S G. Hydrogeochemical, seawater intrusion and oxygen isotope studies on a coastal region in the Puri District of Odisha, India[J]. CATENA, 2019, 172: 558-571.
- [11] Xiang W, Si B C, Biswas A, et al. Quantifying dual recharge mechanisms in deep unsaturated zone of Chinese Loess Plateau using stable isotopes[J]. Geoderma, 2019, 337: 773-781.
- [12] Li Z, Coles A E, Xiao J. Groundwater and streamflow sources in China's Loess Plateau on catchment scale[J]. CATENA, 2019, 181, doi: 10.1016/j.catena.2019.104075.
- [13] Wu J H, Li P Y, Qian H. Hydrochemical characterization of drinking groundwater with special reference to fluoride in an arid area of China and the control of aquifer leakage on its concentrations [J]. Environmental Earth Sciences, 2015, 73 (12): 8575-8588.
- [14] Huang Y N, Chang Q R, Li Z. Land use change impacts on the amount and quality of recharge water in the loess tablelands of China[J]. Science of the Total Environment, 2018, 628-629: 443-452.
- [15] Li Z, Xiao J, Evaristo J, et al. Spatiotemporal variations in the hydrochemical characteristics and controlling factors of streamflow and groundwater in the Wei River of China [J]. Environmental Pollution, 2019, 254, doi: 10.1016/j.envpol.2019.113006.
- [16] Li Z J, Yang Q C, Yang Y S, et al. Isotopic and geochemical interpretation of groundwater under the influences of anthropogenic activities [J]. Journal of Hydrology, 2019, 576: 685-697.
- [17] Zhao Y, Wang C L, Xiang W, et al. Evaluation of the hydrochemical evolution characteristics and renewable capacity of deep fresh groundwater in the Hangzhou Bay New Zone, China [J]. Environmental Earth Sciences, 2019, 78 (22), doi: 10. 1007/s12665-019-8645-x.
- [18] 寇永朝, 华琨, 李洲, 等. 泾河支流地表水地下水的水化学特征及其控制因素[J]. 环境科学, 2018, **39**(7): 3142-3149.
  - Kou Y C, Hua K, Li Z, *et al.* Major ionic features and their possible controls in the surface water and groundwater of the Jinghe River[J]. Environmental Science, 2018, **39**(7): 3142-3149.
- [19] 华琨. 黄土高原主要河流水化学和水质的时空特征及其影响 因素[D]. 杨凌:西北农林科技大学,2019.
  - Hua K. Spatiotemporal characteristics and controlling factors of water chemistry and water quality in the main rivers of the Loess Plateau[D]. Yangling: Northwest A&F University, 2019.
- [20] 李洲,李晨曦,华琨,等. 黄土区洛川塬地下水化学特征及影响因素分析[J]. 环境科学, 2019, **40**(8): 3559-3567. Li Z, Li C X, Hua K, *et al.* Groundwater chemistry characteristics and the analysis of influence factors in the Luochuan Loess Tablelands[J]. Environmental Science, 2019, **40**(8): 3559-3567.
- [21] 刘皓雯, 秦伟, 高美荣, 等. 丘陵区典型小流域地下水化学特征与补给来源分析[J]. 山地学报, 2019, **37**(2): 186-197.
  - Liu H W, Qin W, Gao M R, et al. Chemical characteristics and recharging rates in the groundwater of typical small watersheds in the hilly central Sichuan basin, China[J]. Mountain Research, 2019, 37(2): 186-197.

- [22] 祁彧. 汾河干流重金属迁移规律研究[D]. 太原: 太原理工 大学, 2017.
  - Qi Y. Study on the heavy metal migration rule in the mainstream of Fenhe river[D]. Taiyuan; Taiyuan University of Technology, 2017.
- [23] 侯新伟, 李向全, 陈浩. 汾河中游干流河水与大气降水和浅层地下水的转化关系[J]. 水文地质工程地质, 2008, 35 (6): 38-41.

  Hou X W, Li X Q, Chen H. Study on transforming relationship among surface water precipitation and groundwater along Fenhe
  - among surface water, precipitation and groundwater along Fenhe River in Taiyuan Basin [J]. Hydrogeology & engineering geology, 2008, 35(6): 38-41.
- [24] 唐文秀. 汾河流域水环境承载力的研究[D]. 西安: 西安理工大学, 2010.
  Tang W X. Study on water ecological carrying capacity of Fenriver basin [D]. Xi'an; Xi'an University of Technology, 2010.
- [25] 杨永刚,李彩梅,秦作栋,等. 汾河源区不同景观带水文过程研究[J]. 环境科学, 2014, **35**(6): 2108-2113.

  Yang Y G, Li C M, Qin Z D, *et al.* Hydrologic processes of the different landscape zones in Fenhe River headwater catchment [J]. Environmental Science, 2014, **35**(6): 2108-2113.
- [26] 刘宇峰, 孙虎, 原志华. 1960 年至 2007 年汾河流域气温年际和季节性变化特征分析[J]. 资源科学, 2011, 33(3): 489-496.

  Liu Y F, Sun H, Yuan Z H. Annual and seasonal change characteristics of temperature in the Fenhe river basin during the period 1960-2007[J]. Resources Science, 2011, 33(3): 489-
- [27] Landwehr J M, Coplen T B. Line-conditioned excess: a new method for characterizing stable hydrogen and oxygen isotope ratios in hydrologic systems [A]. In: Isotopes in Environmental Studies [C]. Vienna, Austria: IAEA, 2004.
- [28] Luo Z D, Guan H D, Zhang X P, et al. Examination of the ecohydrological separation hypothesis in a humid subtropical area: Comparison of three methods [J]. Journal of Hydrology, 2019, 571: 642-650.
- [29] Qian J, Zheng H, Wang P F, et al. Assessing the ecohydrological separation hypothesis and seasonal variations in water use by Ginkgo biloba L. in a subtropical riparian area [J]. Journal of Hydrology, 2017, 553: 486-500.
- [30] Piper A M. A graphic procedure in the geochemical interpretation of water-analyses [J]. Eos, Transactions American Geophysical Union, 1944, 25(6): 914-928.
- [31] 张涛, 蔡五田, 李颖智, 等. 尼洋河流域水化学特征及其控制因素[J]. 环境科学, 2017, **38**(11): 4537-4545.

  Zhang T, Cai W T, Li Y Z, *et al.* Major ionic features and their possible controls in the water of the Niyang river basin [J]. Environmental Science, 2017, **38**(11): 4537-4545.
- [32] Nagaraju A, Balaji E, Sun L H, et al. Processes controlling groundwater chemistry from mulakalacheruvu area, chittoor district, andhra pradesh, south India: a statistical approach based on hydrochemistry[J]. Journal of the Geological Society of India, 2018, 91(4): 425-430.
- [33] Feth J H, Gibbs R J. Mechanisms controlling world water chemistry: evaporation-crystallization process [ J ]. Science, 1970, 170(3985); 870-872.
- [34] Charfi S, Zouari K, Feki S, et al. Study of variation in groundwater quality in a coastal aquifer in north-eastern Tunisia using multivariate factor analysis [J]. Quaternary International, 2013, 302: 199-209.
- [35] Li S Y, Lu X X, Bush R T. Chemical weathering and CO<sub>2</sub>

- consumption in the Lower Mekong River [J]. Science of the Total Environment, 2014, 472: 162-177.
- [36] Xiao J, Zhang F, Jin Z D. Spatial characteristics and controlling factors of chemical weathering of loess in the dry season in the middle Loess Plateau, China[J]. Hydrological Processes, 2016, 30(25): 4855-4869.
- [37] Li S Y, Zhang Q F. Geochemistry of the upper Han River basin, China: 2: Seasonal variations in major ion compositions and contribution of precipitation chemistry to the dissolved load [J]. Journal of Hazardous Materials, 2009, 170(2-3): 605-611.
- [38] Rabeiy R E. Assessment and modeling of groundwater quality using WQI and GIS in Upper Egypt area [J]. Environmental Science and Pollution Research, 2017, 25(31): 30808-30817.
- [39] WHO. Guidelines for drinking-water quality: 4th edition, incorporating the 1st addendum [R]. Geneva, Switzerland: World Health Organizaion, 2017.
- [40] Zhang Q Y, Xu P P, Qian H. Assessment of groundwater quality and human health risk (HHR) evaluation of nitrate in the central-western Guanzhong basin, China [J]. International Journal of Environmental Research and Public Health, 2019, 16 (21), doi: 10.3390/ijerph16214246.
- [41] 赵欣. 山西省人口分布与经济发展空间一致性研究[D]. 临汾: 山西师范大学, 2018.
  Zhao X. Multi-scale studies on the space consistency between population distribution and economic development in Shanxi province[D]. Linfen: Shanxi Normal University, 2018.
- [42] Sun C J, Chen W, Chen Y N, et al. Stable isotopes of atmospheric precipitation and its environmental drivers in the Eastern Chinese Loess Plateau, China[J]. Journal of Hydrology, 2019, 581, doi: 10.1016/j.jhydrol.2019.124404.
- [43] 程立平, 刘文兆, 李志, 等. 长武黄土塬区土地利用变化对潜水补给的影响[J]. 水科学进展, 2016, **27**(5): 670-678. Cheng L P, Liu W Z, Li Z, *et al.* Land use change affects groundwater recharge in the Changwu loess tableland of China [J]. Advances in Water Science, 2016, **27**(5): 670-678.
- [44] 凌新颖. 陇东黄土高原地下水补给与演化规律研究[D]. 兰州: 兰州大学, 2019.

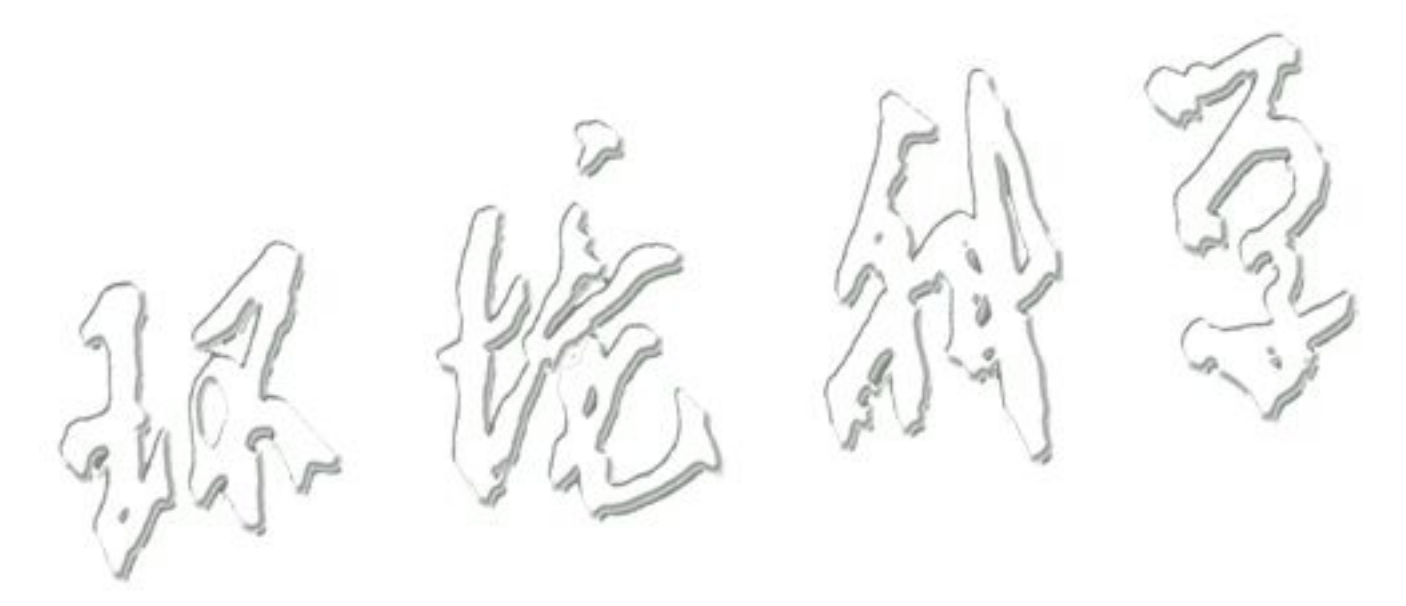
  Ling X Y. Study on groundwater recharge and hydrogeochemical evolution of the Loess Plateau in the east Gansu[D]. Lanzhou: Lanzhou university, 2019.
- [45] 刘鑫. 基于氢氧同位素的黄土高原丘陵沟壑区浅层地下水补给机制研究:——以岔巴沟流域为例[D]. 北京: 中国科学院地理科学与资源研究所, 2010.

  Liu X. Groundwater recharge mechanism in hilly loess regions of Loess Plateau using environmental isotopes-a case study in Chabagou catchment [D]. Beijing: Institute of Geographic Sciences and Natural Resources Research, CAS, 2010.
- [46] Huang T M, Ma B Q, Pang Z H, et al. How does precipitation recharge groundwater in loess aquifers? Evidence from multiple environmental tracers [J]. Journal of Hydrology, 2020, 583, doi: 10.1016/j.jhydrol.2019.124532.
- [47] 郑淑蕙, 侯发高, 倪葆龄. 我国大气降水的氢氧稳定同位素研究[J]. 科学通报, 1983, (13): 35-40.
- [48] Craig H. Isotopic variations in meteoric waters [J]. Science, 1961, 133(3465): 1702-1703.
- [49] Lin H. Linking principles of soil formation and flow regimes [J]. Journal of Hydrology, 2010, 393(1-2): 3-19.
- [50] Chen J S, Wang F Y, Meybeck M, et al. Spatial and temporal analysis of water chemistry records (1958-2000) in the Huanghe (Yellow River) basin[J]. Global Biogeochemical Cycles, 2005, 19(3), doi: 10.1029/2004GB002325.

- [51] 罗进,安艳玲,吴起鑫,等. 赤水河中下游冬季河水化学空间分布特征分析[J]. 地球与环境,2014,42(3):297-305.
  - Luo J, An Y L, Wu Q X, et al. Spatial distribution of surface water chemical components in the middle and lower reaches of the Chishui river basin[J]. Earth and Environment, 2014, 42(3): 297-305.
- [52] 华琨, 李洲, 李志. 黄土区长武塬地下水水化学特征及控制 因素分析[J]. 环境化学, 2020, **39**(8): 2065-2073. Hua K, Li Z, Li Z. The hydrochemical characteristics and controlling factors of groundwater in the Changwu loess tableland [J]. Environmental Chemistry, 2020, **39**(8): 2065-2073.
- [53] 张涛,何锦,李敬杰,等. 蛤蟆通河流域地下水化学特征及控制因素[J]. 环境科学,2018,39(11):4981-4990.

  Zhang T, He J, Li J J, et al. Major ionic features and possible controls in the groundwater in the Hamatong river basin [J]. Environmental Science, 2018, 39(11):4981-4990.

- [54] Chen Y, Zhu S Y, Xiao S J. Discussion on controlling factors of hydrogeochemistry and hydraulic connections of groundwater in different mining districts [J]. Natural Hazards, 2019, 99 (2): 689-704.
- [55] Carol E S, Kruse E E, Laurencena P C, et al. Ionic exchange in groundwater hydrochemical evolution. Study case: the drainage basin of El Pescado creek (Buenos Aires province, Argentina)
  [J]. Environmental Earth Sciences, 2012, 65(2): 421-428.
- [56] Xing M, Liu W G. Using dual isotopes to identify sources and transformations of nitrogen in water catchments with different land uses, Loess Plateau of China [J]. Environmental Science and Pollution Research, 2016, 23(1): 388-401.
- [57] Meng Z, Yang Y G, Qin Z D, et al. Evaluating temporal and spatial variation in nitrogen sources along the lower reach of Fenhe River (Shanxi Province, China) using stable isotope and hydrochemical tracers [J]. Water, 2018, 10 (2), doi: 10. 3390/w10020231.



# **HUANJING KEXUE**

Environmental Science (monthly)

Vol. 42 No. 4 Apr. 15, 2021

## **CONTENTS**

Contributors to Air Pollutant Emission Changes in Autumn and Winter in Beijing-Tianjin-Hebei and Surrounding Areas	1591)
YAN Feng-hua, CHEN Wei-hua, CHANG Ming, et al. (1	1600)
Source Apportionment of Ozone Pollution in Guangzhou: Case Study with the Application of Lagrangian Photochemical Trajectory Model	
PEI Cheng-lei, MU Jiang-shan, ZHANG Ying-nan, et al. (1	1615)
Chemical Composition and Source Analysis of PM <sub>2.5</sub> in Yuncheng, Shanxi Province in Autumn and Winter	1626)
Temporal Trend of Polycyclic Aromatic Hydrocarbons in Atmosphere Within 24 Hours After Snowfall	1636)
Determination Method and Characteristics of Particle Size Multiplier of PM <sub>2.5</sub> in Road Dust	
Source Profiles and Impact of VOCs Based on Production Processes in Foundry Industries	1649)
Emission Characteristics and Toxicity Effects of Halogenated Polycyclic Aromatic Trydrocamons from Coal-Fried and Waste incineration Fower Frams  NI Xiu-feng, WANG Ru-wei, CAI Fei-xuan, et al. (1	1660)
Concentration and Particle Size Distribution Characteristics of Microbial Aerosol and Bacterial Community Structure During Spring in Lanzhou City, China  ZHAO Wei, LI Jie, XIE Hui-na, et al. (1	
Optimization Method and Case Study of Air Pollution Emission Spatial Pattern LI Min-hui, LIAO Cheng-hao, CHANG Shu-cheng, et al. (1	1668)
Uptimization Method and Case Study of Air Pollution Emission Spatial Pattern  LI Min-hui, LIAO Cheng-hao, CHANG Shu-cheng, et al. (1 Influence of PM <sub>2,5</sub> Pollution on Health Burden and Economic Loss in China  LI Yong, LIAO Qin, ZHAO Xiu-ge, et al. (1	
Initiative of PM <sub>2.5</sub> Foliution on realin burden and Economic Loss in China  Li Tong, ElaO Qin, Zhao Alt-ge, et al. (1  Identify the Nitrate Sources in Different Land Use Areas Based on Multiple Isotopes  JIN Zan-fang, HU Jing, WU Ai-jing, et al. (1	1606 )
Hydrochemical Characteristic and Their Controlling Factors in the Yarkant River Basin of Xinjiang	1706)
Pollution Characteristics and Health Risk Assessment of Heavy Metals in the Water of Lijiang River Basin	
Changes in Concentrations and Pollution Levels of Trace Elements of Floodplain Sediments of Poyang Lake Basin in Recent Twenty Years LI Kuo, YANG Ke, PENG Min, et al. (1	
Hydrochemical and Isotopic Characteristics in the Shallow Groundwater of the Fenhe River Basin and Indicative Significance  LIU Xin, XIANG Wei, SI Bing-cheng (1	
Major Ionic Characteristics and Factors of Karst Groundwater at Huixian Karst Wetland, China	
Hydrochemistry Characteristics and Estimation of the Dissolved Inorganic Carbon Flux in the Caobai Lake Wetland Catchment of Guizhou Province	
CAO Xing-xing, WU Pan, YANG Shi-di, et al. (1	1761)
Concentration Levels and Potential Ecological Risks of Current Use Pesticides in the Surface Seawater of Typical Liaoning Sea Areas	
Levels, Characteristics, and Potential Source of Micro (meso) plastic Pollution of Soil in Liaohe River Basin  HAN Li-hua, XU Li, LI Qiao-ling, et al. (1	
PAHs Pollution Characteristics and Source Analysis of Typical Lake and Reservoir Sediments in Jin-Ji-Liao Area	1791)
Pollution Characteristics and Risk Assessment of Organophosphate Esters in Rivers and Water Body Around Taihu Lake ZHANG Wen-ping, ZHANG Zhen-fei, GUO Chang-sheng, et al. (1	
Spatiotemporal Distributions and Ecological Risk Assessments of Typical Antibiotics in Surface Water of Taihu Lake	1811)
Characteristics of Volatile Organic Compounds Pollution and Risk Assessment of Nansi Lake in Huaihe River Basin	
Distribution, Source, and Ecological Risk Evaluation of the PAHs and PCBs in the Sediments from Sanya River	1830)
Spatiotemporal Change and Source Apportionment of Non-point Source Nitrogen and Phosphorus Pollution Loads in the Three Gorges Reservoir Area	
LI Ming-long, JIA Meng-dan, SUN Tian-cheng, et al. (1	1839)
Effect of the Combined Use of Denitrifying Bacteria, Calcium Nitrate, and Zirconium-Modified Zeolite on the Mobilization of Nitrogen and Phosphorus in Sediments and Evaluation	
of Its Nitrate-Nitrogen Releasing Risk XIN Hui-min, LIN Jian-wei, ZHAN Yan-hui (1	
Combined Remediation of Eutrophic Water by Phoslock® and Aerobic Denitrifying Bacteria	1861)
Biodegradation of Algae-derived Organic Matter (I-DOM) from Lake Taihu  ZHANG Qiao-ying, SUN Wei, DU Ying-xun, et al. (1	
Structure Characteristics and Driving Variables of Epilithic Algae Community in Lhasa River Basin of Qinghai-Tibet Plateau WEI Jun-wei, LI Hong-ran, WANG Xing-zhong, et al. (1 Spectral Characteristics and Sources of Dissolved Organic Matter from Landscape River During Flood Season in Suzhou Based on EEMs and UV-vis	18/9)
Spectral Characteristics and Sources of Dissolved Organic Matter from Landscape river During Flood Season in Suzhou based on Elms and UV-vis  HE Jie, ZHU Xue-hui, WEI Bin, et al. (1	1990 \
Adsorption and Desorption Behaviors of Antibiotics on TWP and PVC Particles Before and After Aging	
Synthesis of Magnetic Iron Modifying Biochar for Ammonia Nitrogen Removal from Water WANG Fang-jun, SANG Qian-qian, DENG Ying, et al. (1	
Seasonal Effects of Influent Ammonia Oxidizing Bacteria of Municipal Wastewater Treatment Plants on Activated Sludge System	
Analysis of Performance and Microbial Diversity of ANAMMOX Sludge Based on Particle Size Differentiation WANG Xiao-tong, YANG Hong (1	
Effects of Chlorine Dioxide Disinfection on the Profile of the Super Antibiotic Resistance Genes in a Wastewater Treatment Plant	,,,,
	1939)
Effects of PES and 2,4-DCP on the Extracellular Polymeric Substances and Microbial Community of Anaerobic Granular Sludge LIN Xu-meng, SU Cheng-yuan, WU Shu-min, et al. (1	
Characteristics of Sludge and Associated Risk Assessment of Urban Sewage Treatment Plants	1956)
Effects of Climate Warming on the Key Process and Index of Black Soil Carbon and Nitrogen Cycle During Freezing Period WANG Zi-long, LIU Chuan-xing, JIANG Qiu-xiang, et al. (1	1967)
Effects of Combined Application of Biogas Slurry and Straw on the Migration and Fractions of Soil Heavy Metals in Rice-wheat Rotation System in Coastal Reclamation Areas	
WANG Wei, ZHOU Jun-nan, TANG Yi-fan, et al. (1	1979)
Geochemical Survey Method of Land Quality in Land Parcel Scale City; A Case Study of the Initial Area of the Xiong'an New District ZHOU Ya-long, GUO Zhi-juan, LIU Fei, et al. (1	,
Potential Ecological Risk Assessment and Source Analysis of Heavy Metals in Soil-crop System in Xiong'an New District	2003)
Cadmium Accumulation Characteristics and Impacting Factors of Different Rice Varieties Under Paddy Soils with High Geological Backgrounds	
DAI Zi-wen, FANG Cheng, SUN Bin, et al. (2	
Effects of Different Exogenous Selenium Species Application on Growth and Cadmium Uptake of Pak Choi in Cadmium Contaminated Soil LIU Yang, QI Ming-xing, WANG Min, et al. (2	
Influencing Factors of Cadmium Bioaccumulation Factor in Crops	2031)
Effects of Different Exogenous Plant Hormones on the Antioxidant System and Cd Absorption and Accumulation of Rice Seedlings Under Cd Stress  ZHANG Sheng-nan, HUANG Yi-zong, LI Yan, et al. (2	2040.
ZHANG Sheng-nan, HUANG Yi-zong, LI Yan, et al. (2 Effects of Different Organic Materials on Absorption and Translocation of Arsenic and Cadmium in Rice	
Soil Fungal Community Structure and Functional Diversity in a Copper Tailing Dam and Its Surrounding Areas	
Potential of Arbuscular Mycorrhizal Fungi, Biochar, and Combined Amendment on Sandy Soil Improvement Driven by Microbial Community  Cricia Jian-wen, Zria/do riong, Li Jun-jian, et al. (2	2030 )
ZHANG Zhe-chao, YANG Jiu-yang, HAO Bai-hui, et al. (2	2066)
Animal Manure Fertilization Promotes Antibiotic Resistance Gene Dissemination Among Manure, Soil, and Vegetables	
Establishment and Application of Performance Evaluation and Obstacle Diagnosis Model for Regional Water Ecological Civilization Construction	/
WAN Bing-tong, BAO Xue-ying, ZHAO Jian-chang, et al. (2	2089)